

京都大学工学部 正員 赤井浩一
 京都大学大学院 学生員 岡二三生

1) まえがき

粘性土の変形は一般にエネルギー消散をともなう。材料のエネルギー消散の効果を表現する理論としては、現在、塑性理論や粘弾性理論が存在する。動的塑性理論としてはMalvernやKármánらのもの始まり、Pergynaによって提案された三次元弾-粘塑性論などがある。しかし、粘性土の動的塑性を定式化するのに十分であるとはいえない。本報告では、内部状態変数理論¹⁾にもとづいて構成関係を導き、粘性土に対して適用した。

2) 非弾性材料の熱力学

熱力学のオ-法則であるエネルギーのつりあい式は、

$$\rho \dot{E} - \text{tra} \, \text{div} \, \dot{\epsilon} = \rho r - \text{div} \, \dot{\epsilon} \quad (1)$$

ρ : 密度, E : 内部エネルギー, $\dot{\epsilon}$: 表面からの熱供給, r : 放射熱, tra : エ-ンの応力テンソル, $\text{div} \, \dot{\epsilon}$: 変形速度テンソル。

Clausius-Duhemの不等式(1)より、

$$\dot{\psi} - \frac{1}{\rho} E_{KL} \dot{T}_{KL} - \dot{\zeta} - \frac{1}{\rho \theta} \dot{\theta} \geq 0 \quad (2)$$

ψ : complementary energy, E_{KL} : ひずみテンソル, T_{KL} : キルヒホッフの応力テンソル, ζ : エントピー, θ : 温度

3) 構成仮定

材料内の一点 X_K における材料の挙動は6つの応答関数によって決まるものとする。

$$\begin{aligned} \psi &= \hat{\psi}(T_{KL}, P_{KL}, \theta, \rho, \kappa) \\ \zeta &= \hat{\zeta}(T_{KL}, P_{KL}, \theta, \rho, \kappa) \\ E_{KL} &= \hat{E}_{KL}(T_{KL}, P_{KL}, \theta, \rho, \kappa) \\ \dot{\epsilon} &= \hat{\dot{\epsilon}}(T_{KL}, P_{KL}, \theta, \rho, \kappa) \\ \dot{P}_{KL} &= \hat{\dot{P}}_{KL}(T_{KL}, P_{KL}, \theta, \rho, \kappa) \\ \dot{\kappa} &= \hat{\dot{\kappa}}(T_{KL}, P_{KL}, \theta, \rho, \kappa) \end{aligned} \quad (3)$$

ここで、 ρ は温度勾配、 κ , P_{KL} は内部状態変数である。

(3)を微分し(2)に代入すると、 $\dot{\zeta} = 0$ の場合、

$$\left(\frac{\partial \psi}{\partial T_{KL}} - \frac{1}{\rho} E_{KL} \right) \dot{T}_{KL} + \frac{\partial \psi}{\partial P_{KL}} \dot{P}_{KL} + \frac{\partial \psi}{\partial \kappa} \dot{\kappa} + \left(\frac{\partial \psi}{\partial \theta} - \zeta \right) \dot{\theta} + \frac{\partial \psi}{\partial \rho} \dot{\rho} \geq 0$$

Coleman²⁾の方法 $\dot{\rho} = 0$ と、

$$\frac{\partial \psi}{\partial T_{KL}} = \frac{1}{\rho} E_{KL} \quad (4), \quad \zeta = \frac{\partial \psi}{\partial \theta} \quad (5), \quad \frac{\partial \psi}{\partial \rho} = 0 \quad (6)$$

$$\frac{\partial \psi}{\partial P_{KL}} \dot{P}_{KL} + \frac{\partial \psi}{\partial \kappa} \dot{\kappa} \geq 0 \quad (7)$$

これらが、熱力学的制約条件である。

4) 非弾性材料に対する構成関係

(7)を満足する十分条件として、次式を仮定する。

$$\dot{P}_{KL} = M_1 \frac{\partial \psi}{\partial P_{KL}}, \quad \dot{\kappa} = M_2 \frac{\partial \psi}{\partial \kappa} \quad (8)$$

$$(M_1 \geq 0, M_2 \geq 0)$$

P_{KL} が一定の条件 F_K において、次の積分を定義する。

$$f = \int_{T_{KL}}^{T_{KL}^*} M_1 \frac{\partial \psi}{\partial P_{KL}} dT_{KL} \quad (9)$$

(9)において、 $\frac{\partial \psi}{\partial P_{KL}} dT_{KL} = \frac{\partial f}{\partial T_{KL}} dT_{KL}$ のとす。

$$\dot{P}_{KL} = \frac{\partial f}{\partial T_{KL}} \dot{T}_{KL} \quad (10)$$

(4)の両辺を微分し、 $\dot{P}_{KL} = G_{KLK}$ を仮定すると、

$$\frac{1}{\rho} \dot{E}_{KL} = \beta_{KLTJ} \dot{T}_{LJ} + \alpha \beta_{KLTJ} \dot{P}_{LJ} \quad (11)$$

(10), (11)より、次の応力-ひずみ関係が求まる。

$$\frac{1}{\rho} \dot{E}_{KL} = \beta_{KLTJ} \dot{T}_{LJ} + \alpha \beta_{KLTJ} \frac{\partial f}{\partial T_{LJ}} \dot{T}_{LJ} \quad (12)$$

(12)において、 β_{KLTJ} , $\alpha \beta_{KLTJ}$ おおひずみが決まれば、具体的な応力-ひずみ関係が得られる。動的な環境のもとでの関数 f を決定する方法は、Pergynaが行っているように平衡状態における関数 f_s との関係 E を明らかにする方法を用いる。Pergyna³⁾が彼の弾粘塑性理論に導入した F 関数の一般化の意味で、ここで新たな F 関数を導入する。これは $F=0$ の時に f が f_s に等しくなれば、 F はどんな関数であってもよい。

$$F = \hat{F}(T_{KL}, P_{KL}, \theta, \kappa) \quad (13)$$

平衡状態では、 $F=0$ であるから、 P_{KL} と T_{KL} の間には一義的関係が成立する。したがって、(12)においては

$$f = \hat{f}(F, T_{KL}, P_{KL}, \theta, \kappa)$$

$$\beta_{KLTJ} = \beta_{KLTJ}(F, T_{KL}, P_{KL}, \theta, \kappa) \quad (14)$$

$$\alpha \beta_{KLTJ} = \alpha \beta_{KLTJ}(F, T_{KL}, P_{KL}, \theta, \kappa)$$

5) 正規圧密粘土に対する適用

(12)を微し、ひずみ場 $\dot{\epsilon}_{ij}$ で書きなおすと次のようになる。

$$\dot{\epsilon}_{ij} = \beta_{ijke} \dot{\sigma}_{ke} + \alpha \beta_{ijke} \frac{\partial f}{\partial \sigma_{ke}} \dot{\sigma}_{ke} \quad (15)$$

β_{ij} はスカラー関数である。さらに次のような仮定をする。

の平衡状態での f として、足立⁴⁾によって三次元に拡大された Roscoe の Original Energy Theory に基づく静的降伏関数を使う。

② f 関数を次の様に仮定する。

$$f = f - f_s = \alpha (\dot{\epsilon}_{ij}^{pp}) (\sqrt{J_2} - \sqrt{J_{2(c)}}) \quad (16)$$

ここで、 $\dot{\epsilon}_{ij}^{pp} = \beta_2 \sigma_{ij} / \sigma_{ij}$ 、 J_2 : 偏差応力テンソルの二次不偏量。さらに $\sqrt{J_{2(c)}}$ を次のように定義する。

$$\sqrt{J_{2(c)}} = \sqrt{J_2} - \sqrt{J_{2(c)}} \quad (17)$$

静的降伏関数は σ_{ij} を加工硬化パラメータとして、

$$f_s - K_0 = \sqrt{J_2} + M^* \sigma_m \ln \sigma_m^* / \sigma_m^* \quad (18)$$

のように表される。ただし $\sigma_m^* = \frac{1}{3} \sigma_m$

(18) と (15) より、

$$\dot{\epsilon}_{ij} = \beta_1 \beta_{ij} \dot{\sigma}_{ij} + \beta_2 \left\{ (M^* - \frac{\sqrt{J_2(c)}}{\sigma_m}) \frac{1}{3} \dot{\sigma}_m + \frac{\dot{\sigma}_{ij}}{\sqrt{J_2(c)}} + \alpha \frac{\dot{\sigma}_{ij}}{\sqrt{J_2(c)}} \right\} \quad (19)$$

$\dot{\sigma}_{ij} = \dot{\sigma}_{ij} - \frac{1}{3} \dot{\sigma}_m \delta_{ij}$ 、 M^* : Critical State line の傾き。三軸圧縮応力状態においでは、 $\sqrt{J_2} = \frac{\sqrt{3}}{3} (\sigma_1 - \sigma_3)$ 、 $\dot{\sigma}_m = \frac{2}{3} (\dot{\sigma}_1 - \dot{\sigma}_3)$ となる。

$$\dot{\epsilon}_{11} = \beta_1 S_{11} + \sqrt{\frac{2}{3}} \beta_2 (\alpha + 1) \quad (20)$$

非排水条件より、 $\dot{\epsilon}_{kk} = 0$ から

$$\beta_2 \sigma_m^* + \beta_2 \left(M^* - \frac{\sqrt{J_2(c)}}{\sigma_m} \right) = 0 \quad (21)$$

ここで、 $\beta_1 \beta_{ij} \dot{\sigma}_{ij} = \beta_1 \dot{\sigma}_{ij} + \frac{1}{3} \dot{\sigma}_m \delta_{ij}$ とした。

6) パラメータの性質

図-1 は、非排水クリープ試験の結果である。図中 σ_m^* は圧縮応力である。図より、ひずみレベルが等しければ、半対数紙上において、 $\dot{\epsilon}_{ij}$ と $\frac{\sqrt{2}}{3} (\sqrt{J_2(c)} - \sqrt{J_{2(c)}}) / \sigma_m^* = (\sigma_1 - \sigma_3) / \sigma_m^*$ は比例することがわかる。したがって、パラメータ β_2 は

$$\beta_2 = C_0 (\dot{\epsilon}_{ij}^{pp}) \exp \left(\frac{m (\dot{\epsilon}_{ij}^{pp})}{\sigma_m^*} f \right) \quad (22)$$

と表される。次に式 (20) を村山らによって提案された応力緩和時の実験式 (23) を代入する。

$$\sigma_r(\epsilon_{11}, t) - \sigma_r(\epsilon_{11}, t_0) = -\beta(\epsilon_{11}) \log(t/t_0) \quad (23)$$

$$\frac{m(\dot{\epsilon}_{ij}^{pp})}{\sigma_m^*} \frac{\beta}{\beta_0} = 1, \quad \frac{2}{3} \frac{\beta_0}{\sigma_m^*} = C_1 t_0 \quad (24)$$

ただし、 $\beta_0 = (\sigma_1 - \sigma_3) / \sigma_m^*$ 、 $C_1 = \sqrt{\frac{2}{3}} C_0 (1 + \alpha)$ とした。(24) よりパラメータ $m(\dot{\epsilon}_{ij}^{pp})$ の挙動が推定できる。定速せん断時の実験

参考文献

1) Coleman, B.D and M.E. Gurtin, J. chem. Phys., Vol. 47, No. 2, 1967, pp. 597-613. 2) Coleman, B.D. and W. Noll, Arch. Rational Mech. Anal., Vol. 13, 1963, pp. 167-178. 3) Perygna, P., Proc. Vibrational Problems, Warsaw, Vol. 4, No. 3, 1963, pp. 281-290. 4) 足立 定彦 "土質材料の動的降伏地面について" 才石回土質工学研究発表会講演集, 1973, 85. 5) 村山 関口 上田 "粘土の応力緩和特性について" 土木学会関西支部年次学術講演集, pp. III-1-1 ~ III-1-4. 6) Okano, M.; Study on Deformation of Fully Saturated Clay from a view of Viscoplasticity, M.S. Thesis (Kyoto Univ.), 1972.

式は応力緩和時の実験式と近似的に等しくなることが、赤井、足立らにより指摘されていることから、(20) は定速せん断時の挙動を説明する。次に式 (23) と (21) を代入すると、

$$\begin{aligned} \sigma_2 \dot{\sigma}_m^* &= -\beta_2 \left(M^* - \frac{\sqrt{J_2(c)}}{\sigma_m^*} \right) \\ &= -C_2 \exp \left\{ \frac{m}{\sigma_m^*} \frac{\beta}{\beta_0} \ln(t/t_0) \right\} \\ &= -C_2 \frac{t}{t_0} \quad (25) \end{aligned}$$

ただし、 $C_2 = C_0 (M^* - \sqrt{J_2(c)} / \sigma_m^*)$ 。

(25) を積分すると、 $\sigma_m^* = -A \ln(t/t_0) + \sigma_m^*$ となる。ここで

ここで応力緩和時に応力経路が主応力軸に平行になると考慮すると、 $A = \frac{1}{3} \frac{\beta}{\sigma_m^*}$ となる。ただし、

$C_2 = \sigma_2 A / t_0$ 。(25) より $C_1 = 2 \sigma_1 C_2 / \sigma_2$ となる。以上より、9つのパラメータ、 $\beta_1, \beta_2, C_1, \beta, \sigma_m^*, M^*, K,$

λ と e_0 が決まると、正根圧縮土の動的挙動が決定されることになる。ただし、 σ_m^* は圧縮応力、 e_0 は初期間

隙比、 λ, K は $e - \log p$ 曲線での膨張と圧縮時の勾配である。

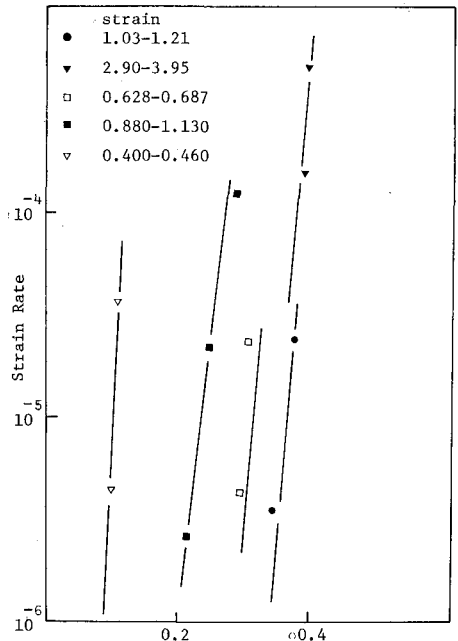


Fig. 1 $(q - q_s) / \sigma'_{me}$ (after Okano⁶⁾)